

Performances des mécanismes de sécurité du framework 6TiSCH

Défense de mémoire

Rémy DECOCQ

Faculté des Sciences
Université de Mons



26/06/20

Sommaire

1 Introduction

- Les réseaux IloT (WSNs)
- 6TiSCH

2 État de l'art de la pile 6TiSCH

- Principes fondamentaux de TSCH
- La joining phase

3 Méthode NPEB et expérimentations

- Principes de la méthode NPEB
- Évaluation de l'impact de sécurité sur la joining phase
- Évaluation des performances de la méthode NPEB

4 Conclusion



Contexte

Équipements de l'*Industrial IoT* (nœud) :

- Limités en ressources : mémoire, CPU, stockage, radio
- Limités en capacité énergétique (batteries)

Caractéristiques des *Wireless Sensors Networks* :

- Topologie en arborescence, nœud racine "sink"
- Transmissions radios multi-sauts
- ...

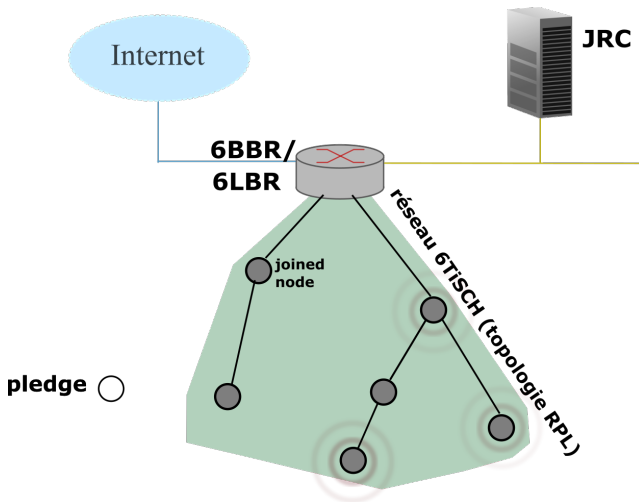


FIGURE 1 – Acteurs d'une architecture type d'un WSN où 6TiSCH est déployable

6TiSCH

Groupe de travail IETF *IPv6 over the TSCH mode of IEEE802.15.4e*

Standardisation de la pile 6TiSCH complète pour :

- Communications IPv6 → interopérabilité avec Internet
- Intégration du mode TSCH décrit par l'amendement IEEE802.15.4e
- Encadrer sécurité du réseau et joining phase

Sommaire

- 1 Introduction
 - Les réseaux IloT (WSNs)
 - 6TiSCH
- 2 État de l'art de la pile 6TiSCH
 - Principes fondamentaux de TSCH
 - La joining phase
- 3 Méthode NPEB et expérimentations
 - Principes de la méthode NPEB
 - Évaluation de l'impact de sécurité sur la joining phase
 - Évaluation des performances de la méthode NPEB
- 4 Conclusion

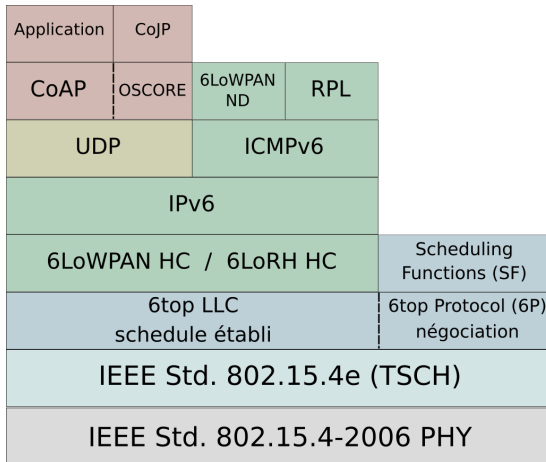


FIGURE 2 – Pile réseau 6TiSCH

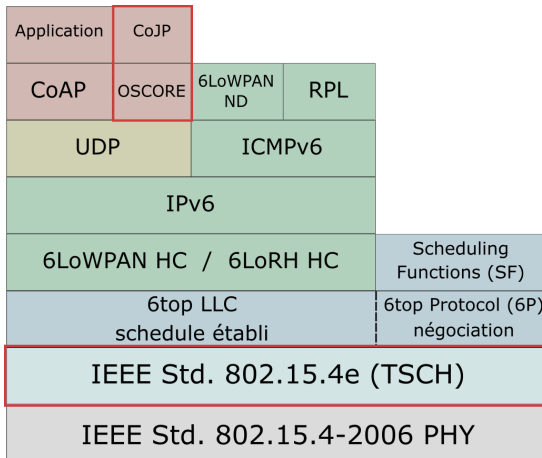


FIGURE 3 – Pile réseau 6TiSCH



Principes fondamentaux de TSCH

TSCH (*Time Slotted Channel Hopping*)

Combinaison de :

- 1 TDMA → multiplexage en temps (*timeslot*)
- 2 FDMA → multiplexage en fréquences (*channelOffset*)

Une communication entre nœuds voisins est caractérisée par un couple (*timeslot*, *channelOffset*) où

- 1 *timeslot* donne le moment de la communication
- 2 *channelOffset* donne la fréquence à laquelle elle a lieu

Les nœuds communiquant possèdent et partagent cette information
→ communications déterministes sur base d'un *schedule*

channelOffset

0	A	A	
1		C	A/B
2	C		
3	D		

slotOffset

FIGURE 4 – Matrice des communications (*cells* de transmission)

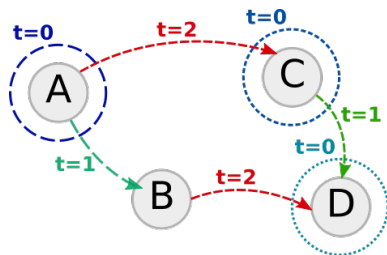


FIGURE 5 – Nœuds communiquant

À cette matrice correspond une slotframe se répétant en cycles successifs

La joining phase

Réseau 6TiSCH de nœuds déjà raccordés protégé au niveau L2 par les mécanismes de protection IEEE802.15.4 et **clés** distribuées par l'autorité du réseau (***Join Registrar/Coordinator - JRC***).

Un nœud qui veut rejoindre (***pledge***) n'a pas ces clés.

Un nœud déjà raccordé fait office de ***Join Proxy*** intermédiaire entre le pledge et l'autorité du réseau.

→ émission de frame spéciales (**EBs**) par les nœuds déjà raccordés

→ le pledge initie la joining phase pour se synchroniser + obtenir les clés

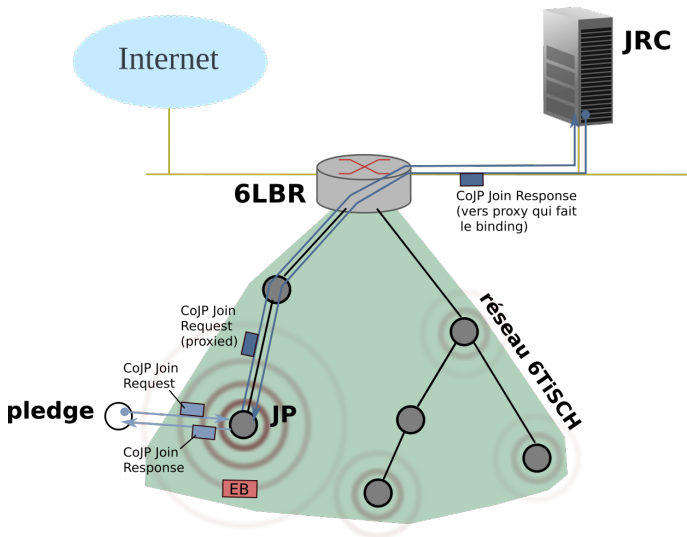


FIGURE 6 – Join Exchange CoJP opéré lors de la joining phase d'un pledge

Sommaire

1 Introduction

- Les réseaux IloT (WSNs)
- 6TiSCH

2 État de l'art de la pile 6TiSCH

- Principes fondamentaux de TSCH
- La joining phase

3 Méthode NPEB et expérimentations

- Principes de la méthode NPEB
- Évaluation de l'impact de sécurité sur la joining phase
- Évaluation des performances de la méthode NPEB

4 Conclusion

Principes de la méthode NPEB

NPEB : *Neighbors propositions EB*, augmentation des EBs standards

Principe : un nœud annonce certains de ses voisins, proposés aux pledges qui évitent une écoute active naïve (**processus itératif d'écoute** de proposition en proposition, passe en sommeil entre).

Détermination du "meilleur voisin" basée sur \neq critères

Maintien d'une *NPtable* par pledge et nœuds émettant NPEBs

<u>nœud voisin</u>	Join Metric	Cell émission NPEB	Cycle courant	# de cycles	RSSI
80-97-DF-48-00-01	0	(1, 0)	0	2	None
57-5F-CC-B1-00-02	14	(1, 2)	5	5	0
18-14-DA-48-00-03	7	(2, 11)	3	7	-83 (dBm)

FIGURE 7 – Exemple de NPtable et statuts d'écoute possibles (None/0/RSSI)



14

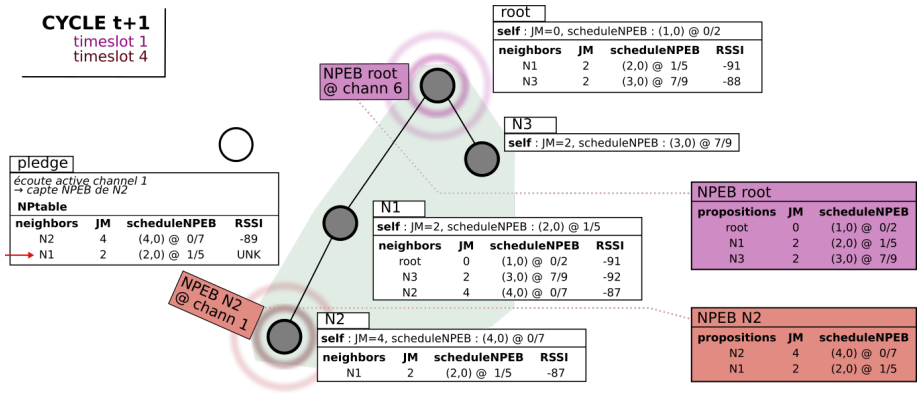


FIGURE 9 – [Cycle t+1] Une itération de slotframe écoulee, deux NPEBs programmés pour ce nouveau cycle

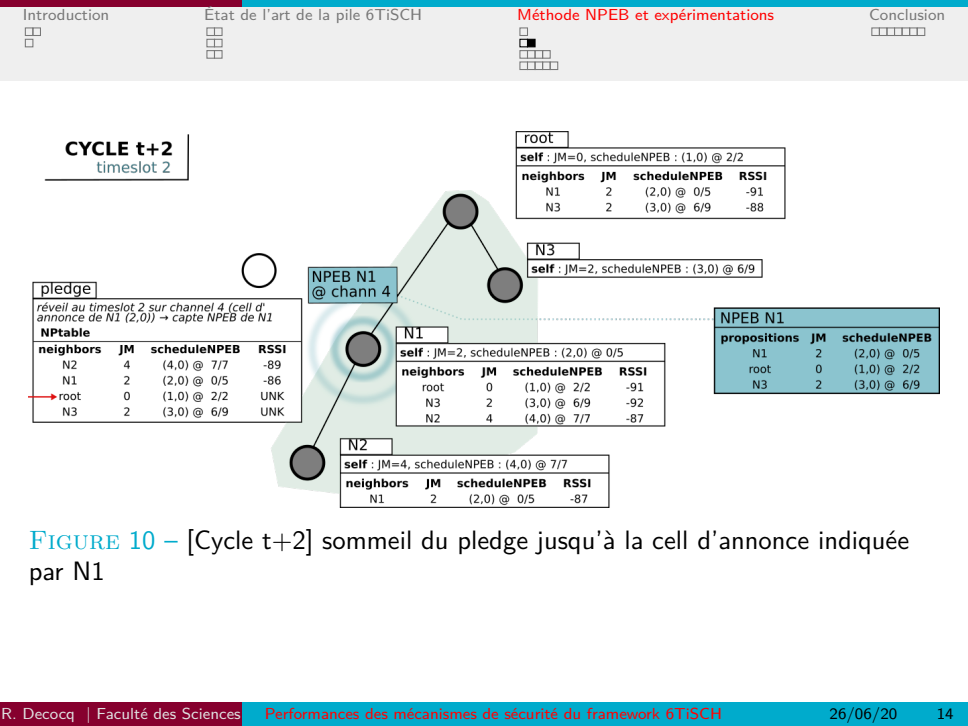


FIGURE 10 – [Cycle t+2] sommeil du pledge jusqu'à la cell d'annonce indiquée par N1

R. Decocq | Faculté des Sciences

Performances des mécanismes de sécurité du framework 6TiSCH

26/06/20

14

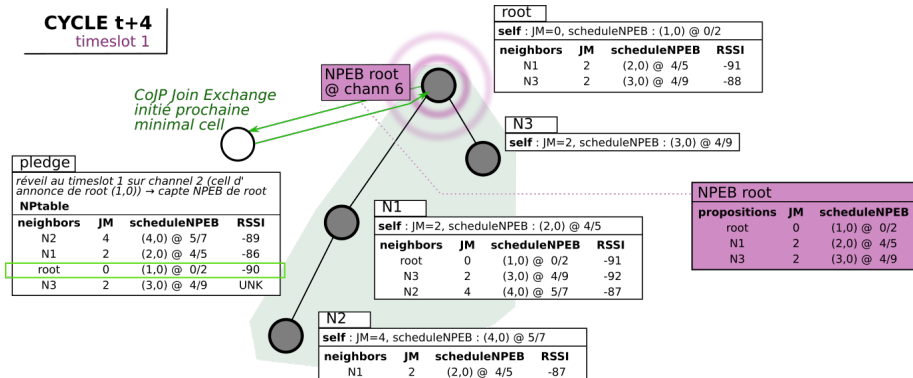


FIGURE 11 – [Cycle $t+4$] sommeil du pledge jusqu'à la cell d'annonce indiquée par root et lancement de la suite du processus de join avec celui-ci

Impact de sécurité sur la joining phase

Expérimentations dans le simulateur 6TiSCH :

- disposition des nœuds aléatoires
- \forall nœud, min. 3 voisins avec $PDR > 50\%$
- configuration de la pile 6TiSCH conforme aux standards
- même seed pour runs parallèles

Expérimentations : avec/sans joining phase sécurisée (i.e. Join Exchange CoJP), réseau de 10 nœuds, 20 runs

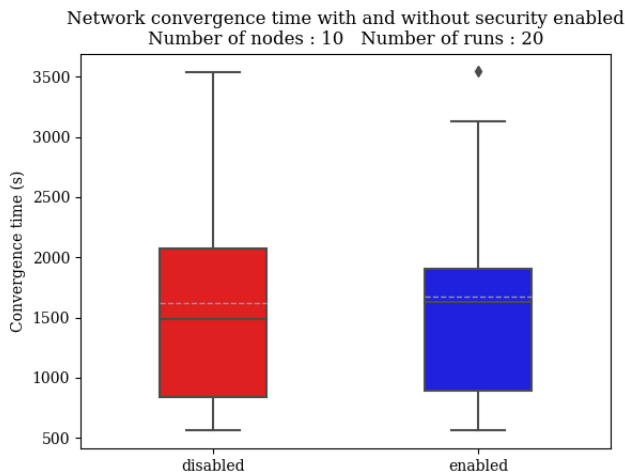


FIGURE 12 – Temps de convergence avec/sans sécurité (Join Exchange CoJP)

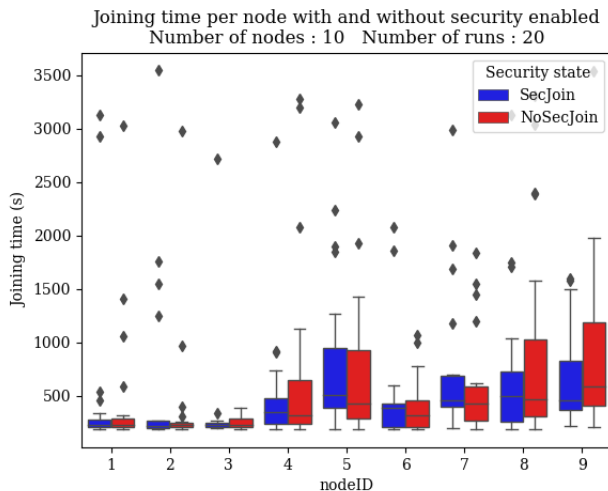


FIGURE 13 – Temps de join pour chaque nœud individuellement

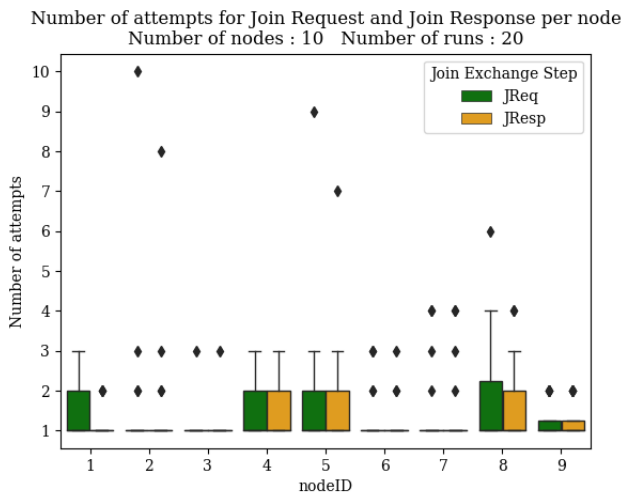


FIGURE 14 – Tentatives nécessaires pour chaque partie du Join Exchange CoJP



Performances de la méthode NPEB

Intuitivement, la méthode NPEB a pour objectif de

- 1 accélérer et optimiser en terme d'énergie (du point de vue du pledge) le processus de join
 - 2 permettre au pledge de sélectionner le meilleur voisin possible avec lequel initier le processus de join
-
- 1 → division de l'analyse en fonction des étapes du processus de join, comparaison avec/sans NPEB
 - 2 → aucune amélioration significative, non présenté ici

Expérimentations : avec/sans méthode NPEB implémentée dans le simulateur, réseau de 30 nœuds, 10 runs et résultats agrégés

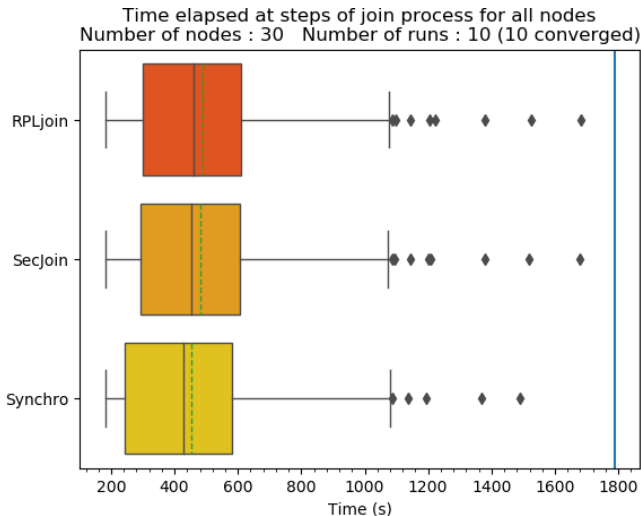


FIGURE 15 – [EBs] Temps requis pour \neq étapes tous nœuds et runs confondus

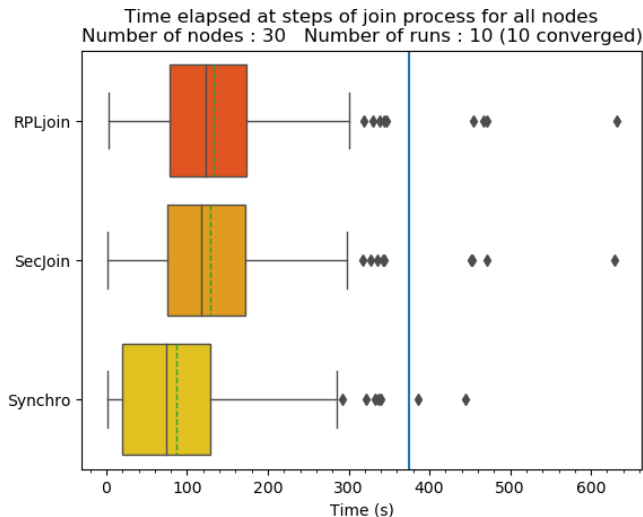


FIGURE 16 – [NPEBs] Temps requis pour \neq étapes tous nœuds et runs confondus

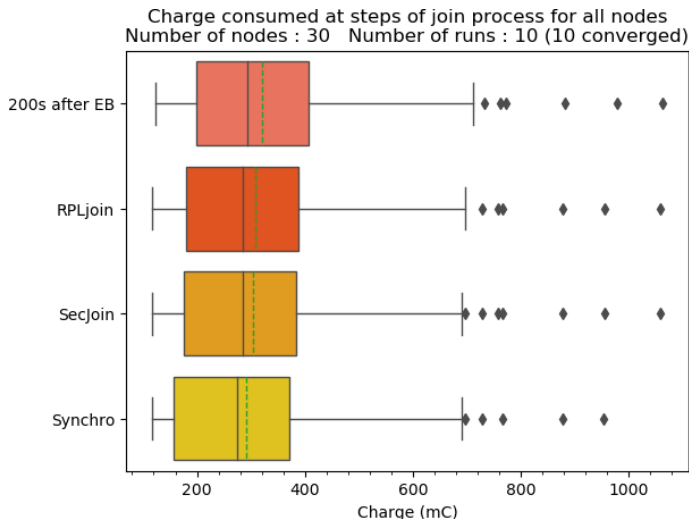


FIGURE 17 – [EBs] Charge consommée aux \neq étapes tous nœuds et runs confondus

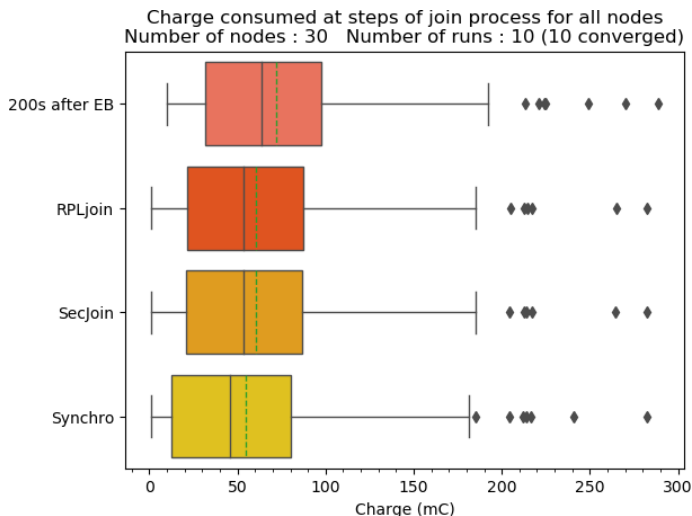


FIGURE 18 – [NPEBs] Charge consommée aux \neq étapes tous nœuds et runs confondus

Conclusion

■ État de l'art

- Revue de la pile dans son entièreté, conforme aux standards dans leur état actuel (standardisation toujours en cours)
- Détail de la sécurité de la joining phase fait dans aucun papier publié à ce jour excepté les standards qui la décrivent eux-mêmes

■ Expérimentations sur la joining phase

- Première quantification de l'impact de la sécurité sur la Joining Phase
- Élaboration de la méthode NPEB pour gagner en performances, un objectif non atteint significativement (sélection meilleur voisin)
→ améliorations possibles par paramètres et processus décisionnels



Performances des mécanismes de sécurité du framework 6TiSCH

Q&A



Appendix

$$f_{eff} = \text{HoppSeq}[f \bmod n_{ch}] \quad \text{où } f = \text{ASN} + \text{channelOffset}$$

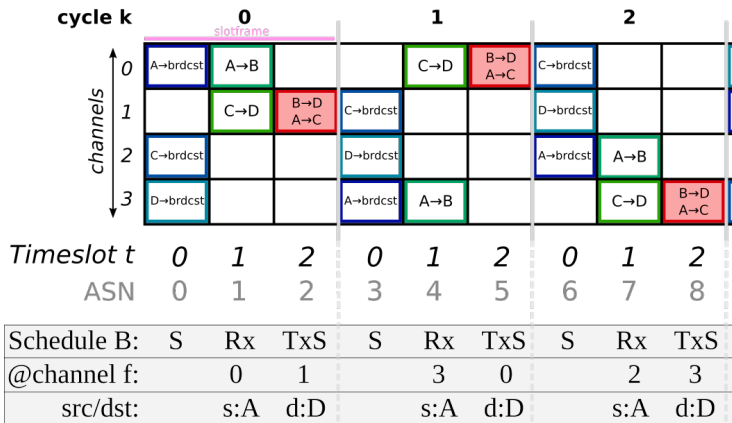


FIGURE 19 – Effet de sauts de fréquence d'un cycle à l'autre de slotframe

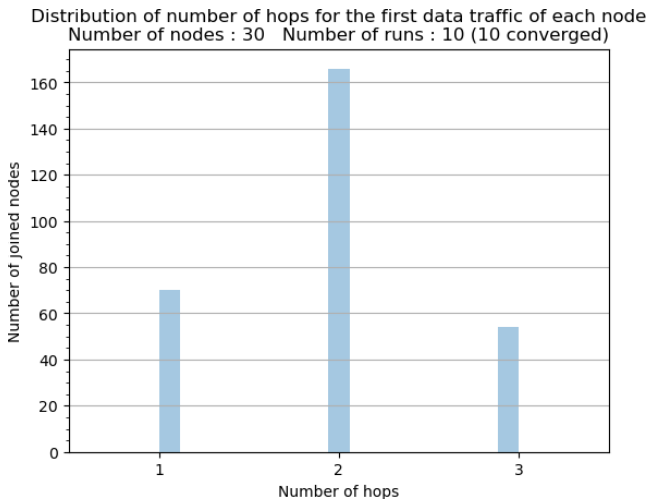


FIGURE 20 – [EBs] Nombre de hops pour le 1^{er} paquet app. de chaque noeud

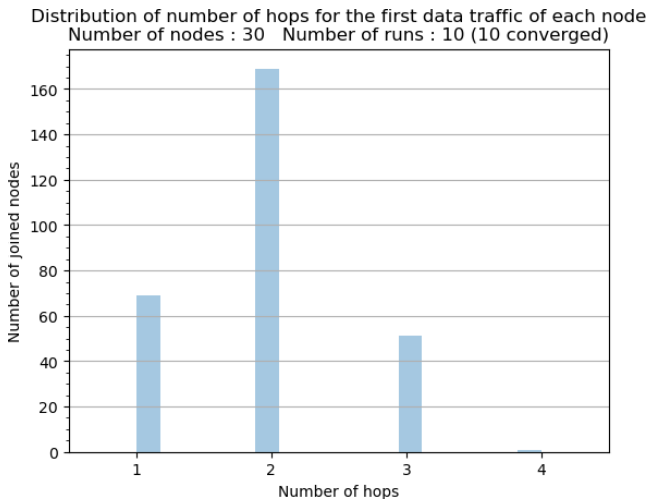


FIGURE 21 – [NPEBs] Nombre de hops pour le 1^{er} paquet app. de chaque noeud

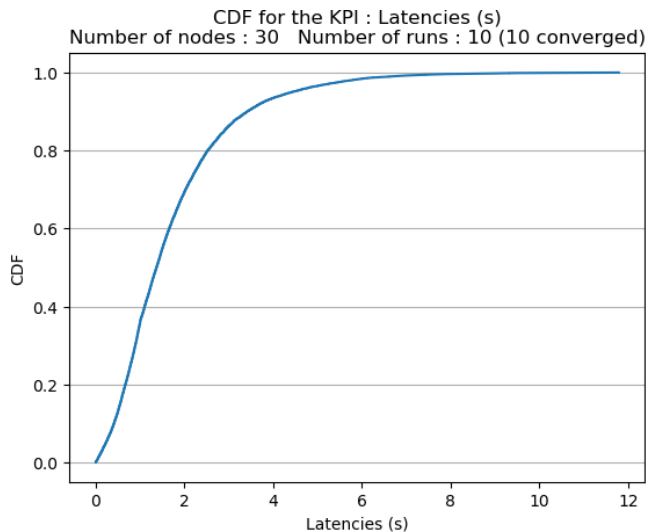


FIGURE 22 – [EBs] CDF des latences mesurées

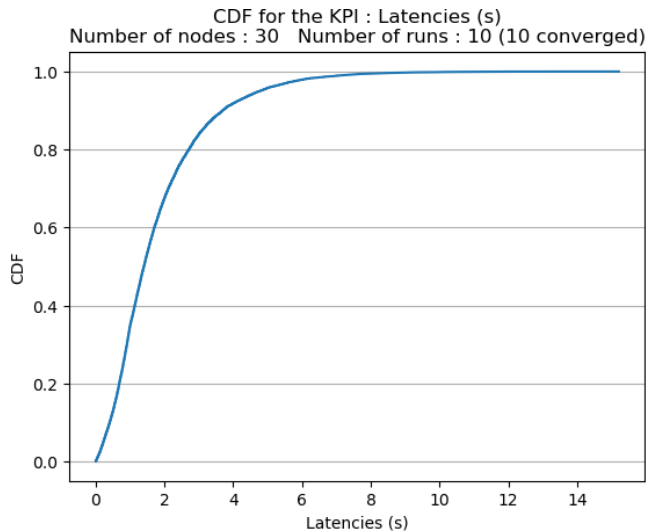


FIGURE 23 – [NPEBs] CDF des latences mesurées